

明石工業高等専門学校  
立命館大学

正員 〇角田 忍  
正員 明石外世樹

1. はじめに

フレッシュコンクリートの振動締固めや、ポンプ車による長距離管圧送時などコンクリートの動的因子を含む問題点が多いにもかかわらず、フレッシュな段階におけるコンクリートの動的諸物性を求めた報告はごく少ない。本研究では、練上、マゼンのコンクリートを振動させた場合、水セメント比の差が共振点に影響するかどうか、また共振曲線から練り上り時の、動的弾性係数および動的粘性係数を求めた結果を報告する。

2. 材料および配合

セメントはN社製普通ポルトランドセメントを使用した。細骨材および粗骨材は、愛知県産天然骨材を使用した。(表-1) コンクリートの配合は、水セメント比 45%、55%、の2種類とし、絶対細骨材量は一定とした。(表-2)

粗骨材の最大寸法	空気量	単位水量	単位セメント量	水セメント比	絶対細骨材率	単位粗骨材量	単位粗骨材量
10mm	1%	181kg	400kg	45%	50%	900kg	900kg
10	1	196	356	55	50	900	900

表-1 コンクリートの配合

3. 実験概要

実験装置は、発振器(0~10kHz)、電力増幅器、加振器、フリケンシーカウンターからなる加振部と、ピックアップ、デュアルビームシンクロスコープからなる受振部によって構成される。型枠は、外壁からの影響をなくするために、中10cm、 $l=20$ cm、 $t=1$ mm、の塩化ビニールパイプを用い、更に供試体と外壁とのマサツを消すために、外壁に銅粉を塗り、パラフィン紙を二重に貼り合せたもので、供試体を包んだ。ピックアップには、小型軽量化をはかるため、圧電素子として円筒型チタン酸バリウム磁器を使用し、容器として中 $1$ cm、 $l=2$ cm、 $t=0.1$ mm、の銅製の円筒を用いた。骨材は表乾状態のものを使用しコンクリートは、すべて手練りとした。供試体は1分間空練り、3分間本練りしたものを、棒で十分突きながら型枠に詰め、15秒間95%で振動締固めを行ったものを測定開始時間とした。またこの時、共振点での位相のずれを測定するために、ピックアップを底と上端に設置した。(図-1)

	比重	吸水量(%)	粗粒率	単位容積(重量%)	空隙百分率(%)
細骨材	2.64	2.04	2.81	1725	34.7
粗骨材	2.65	0.95	6.83	1665	37.2

表-2 骨材の物理試験結果

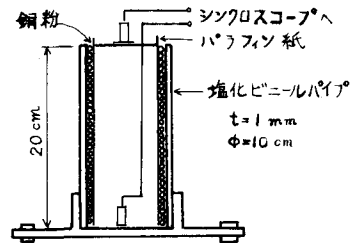
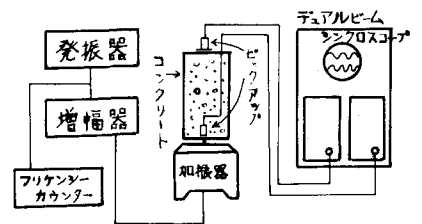


図-1 共振法装置及び型枠詳細図

4. 実験結果および考察

フレッシュコンクリートの減衰係数は非常に大きく、した

が、縦波の伝播は減衰して、受信振幅もかなり小さい。また共振曲線の band width  $\Delta f$  の幅も大きく、20~30 Hz位になっている。共振点における波形は、写真のように上下のピックアップの受信波形の位相遅れが  $90^\circ$  である。これは、一端固定の基本共振を明確に表わしている。よって伝播速度は次式により求まる。

$$V_s = f_r \lambda = 4 \lambda f_r = 0.8 f_r (\text{m/sec})$$

図-2、および図-3は  $W/C=45\%$ 、 $55\%$  の代表的な共振曲線であるが、共振周数  $f_r$  は骨材が一定であれば水セメント比の小さい方が、いく分高い振動数を示すがあまり明瞭でない。また伝播速度は70~80 m/sec位になる。この速度を超音波ピルス法<sup>1)</sup>と比較してみると20~50 m/sec位下まゐるが、練りよってすぐの状態では、水セメント比の差が速度に表われてこないこと、100 m/sec前後の値になること、は同じことはいえる。また加速度を1g~4gまで変化させるとこの範囲内では、共振点の大きな移動はみられなかった。フレッシュコンクリートの振動を粘弾性体の縦振動とした場合、共振点において次式が成り立つ

$$E' \cong \rho (4 \lambda f_r)^2$$

$$\eta' = \frac{E' \Delta f}{\omega f_r} = \frac{E' \Delta f}{2\pi f_r^2}$$

ここに  $\rho$ : 密度

ものとして動的粘性係数および動的弾性係数を計算すると、 $E'$ 、 $\eta'$  は  $W/C$  の差が縦波伝播法のように明確には明われないが、オーダーは同程度のものと思われる。共振法は型枠、ピックアップ、加振方法などに問題点が多く、今後大いに改良する必要がある。詳細は講演会当日発表する。

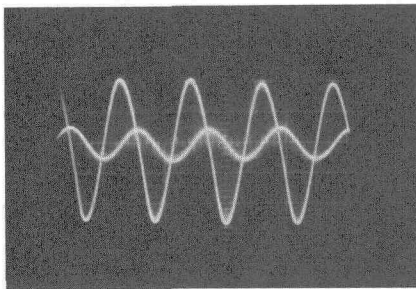


写真 共振点における受信波形 ( $W/C=45\%$ )

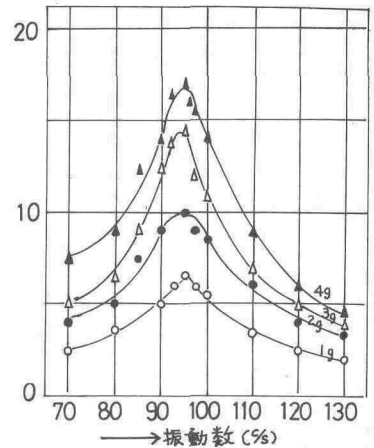


図-2 コンクリートの共振曲線 ( $W/C=45\%$ )

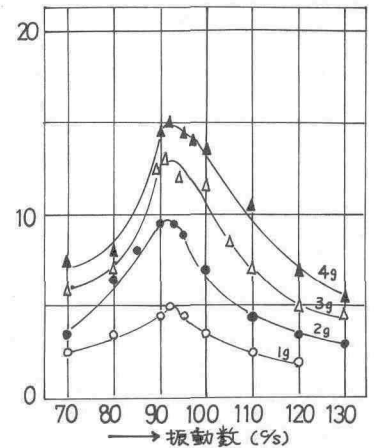


図-3 コンクリートの共振曲線 ( $W/C=55\%$ )

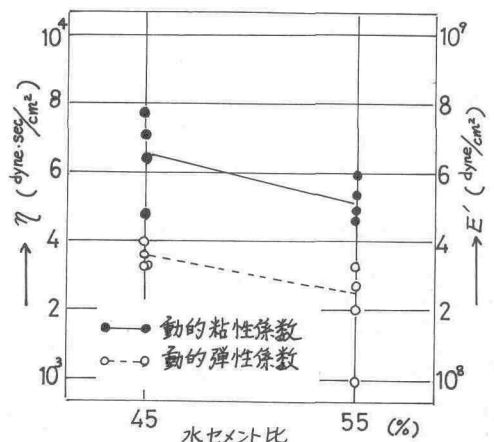


図-4 動的粘性係数及び動的弾性係数

参考文献 1) 日本国産コンクリートの縦波伝播速度, 明石, 岡田, 1975, 土木学会講演集 V-27, 1970